

КРАТКИЕ СООБЩЕНИЯ

**НЕКОТОРЫЕ НАБЛЮДЕНИЯ
НАД ГОРЕНИЕМ КАПЛИ АЛЮМИНИЯ
В СОСТОЯНИИ НЕВЕСОМОСТИ**

B. И. Колесников-Свинарев, Г. П. Кузнецов, О. И. Лейпунский

(Москва)

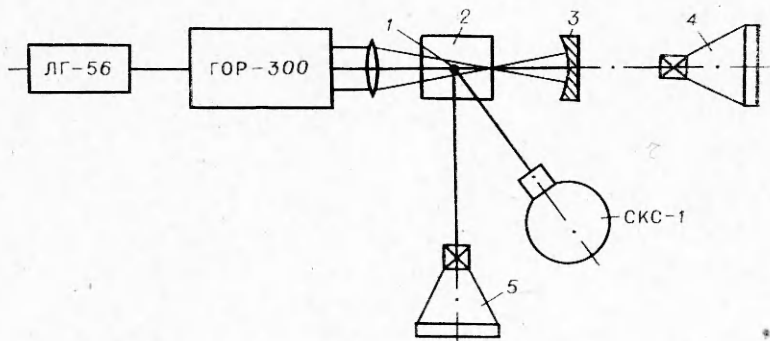
Имеются два подхода к созданию теории горения алюминия в газе-окислителе. Первый [1—3] исходит из аналогии с механизмом и теорией горения капли углеводородного топлива. По этой теории из капли испаряется алюминий, его пары окисляются в тонкой зоне реакции, окружающей каплю, и образующиеся пары окиси алюминия конденсируются в тонкой зоне реакции. Диаметр зоны реакции D (равный диаметру перемены знака стефановского потока) составляет 1,5 d (d — диаметр капли).

Второй подход [4, 5] базируется на термодинамических реальностях: из капли выходят не только пары алюминия, но и его газообразная субокись, продукт реакции образуется путем химической конденсации в газовой фазе зародышей конденсированной окиси алюминия. Химическая конденсация происходит в широкой зоне реакции. Диаметр зоны перемены знака стефановского потока значительно больше следуемого из работ [1—3]; при горении в воздухе капель диаметром 0,1—0,5 мм он равен 2 мм и не зависит от диаметра капли.

Любые предсказания теорий [1—5] относятся к рассмотрению перемещения масс только диффузией, поэтому экспериментальные исследования зоны реакции, соответствующие упомянутой выше предпосылке, следует проводить в условиях невесомости.

На рисунке изображен схематический вид сверху экспериментальной установки. Алюминиевый шарик 1 (диаметр 0,4 или 0,2 мм) подвешивается в камере 2 с плоскими стеклянными стенками (3 — отражающее зеркало). Луч от импульсного лазера ГОР-300 воспламеняет каплю алюминия и одновременно пережигает проволоку, удерживающую камеру от падения. Таким образом, горение капли алюминия происходило в свободнопадающей камере, т. е. в состоянии невесомости.

На фотоаппаратах 5 и 4, расположенных на 14,5 см (капля 0,4 мм) 8,5 см (капля 0,2 мм) ниже начального положения капли, получалось изображение капли в виде сплошной полосы вследствие свободного падения камеры. Ширина полосы равна диаметру зоны интенсивной реакции. Иногда при воспламенении капля получала импульс от оттока несимметрично прогретого воздуха, контактирующего с каплей, и по-



лучала скорость до ~ 6 см/с преимущественно в направлении луча лазера.

Для определения величины и направления скорости этого бокового смещения капли, на фотопластинках перед опытом фотографировалась отвесная нить. Нахождение изображения нити посередине полосы изображения капли означало отсутствие скорости бокового движения. Несовпадение изображения нити с серединой полосы давало возможность определить направление и скорость движения горящей капли внутри падающей камеры, отклонение ее от плоскости фокусирования в соответствующей камере и внести поправки в размер ширины полосы в случае, если отклонения существенны. Специальным приемом (наложение на часть фотопластинки маски с отверстиями диаметром 0,1 мм, расположенным вдоль ширины полосы изображения и отстоящими одно от другого на 0,5 мм) показано, что ширина полосы не искажена ореолом.

Проведены измерения ширины зоны реакции нефотографическим путем: через область реакции проводились тонкие проволоки ($d=0,1$ мм), натянутые на рамку параллельно с расстоянием между ними 1 мм. Скорость движения рамки с проволоками составляла 10—12 см/с. Тонкий белый налет окиси алюминия означал величину сечения в месте прохождения ее проволокой. В табл. 1 приведены значения ширины зоны реакции, полученные фотографическим методом для капель диаметром 0,4 и 0,2 мм. Термин «ядро» означает, что след неоднородный и внутри есть более яркое ядро. В табл. 2 приведены результаты измерений ширины зоны по налету окиси, они близки к таковым, полученным фотографически.

Для восприятия ширины полосы как ширины зоны реакции надо оценить две возможные причины ошибки:

1) ширина полосы есть диаметр области раскаленного воздуха, нагретого узкой зоной реакции ($1,5 d$) по теории [1—3]. Расчет по-

Таблица 1

d_{Al} , мм	Ширина (фотографическая) зоны реакции с использованием «маски», мм	Скорость бокового смещения, см/с	d_{Al} , мм	Ширина (фотографическая) зоны реакции с использованием «маски», мм	Скорость бокового смещения, см/с
0,4	4,8	6,1	0,4	5,0	1,5
	4,5	4,7		3,3	4,3
	5,6	3,8		6,8 (ядро—0,8)	0
	6,2	2,4		5,2 (ядро—0,8)	Не оценена
	4,0	3,5	0,2	5,2 5,6	2,5 Не оценена

Таблица 2

d_{Al} , мм	Количе- ство про- воловок, покрытых Al_2O_3	Наиболь- шая длина участка проволоки, покрытого Al_2O_3 , мм
0,2	6	7,0
0,2	6	3,5
0,4	5	5,5
0,4	8	7,0

имел место обдув капли со скоростью 6 см/с, боковой для фотокамеры 5 и лобовой для камеры 4. К моменту фотографирования (0,17 с после воспламенения) воздушный поток отнес бы посторонний аэрозоль на 1 см. Полоса изображения должна в этих условиях показать диаметр области аэрозоля, связанного с горением, т. е. диаметр зоны реакции. Вследствие этих причин рассмотрим ширину полосы изображения как диаметр зоны реакции конденсации окиси алюминия.

Из данных табл. 1, 2, полученных разными методами, следует, что зоны реакции широки ($\sim 10 d$ для капель с $d=0,4$ мм и $\sim 25 d$ для капель с $d=0,2$ мм) и они практически не зависят от размеров капель в указанном их диапазоне. Эти результаты противоречат теории [1—3] и согласуются с теорией [4, 5]. Ширина зоны реакции практически не зависит от обдувающего потока со скоростью $v=6$ м/с, но сильно уменьшается при увеличении скорости обдува и при $v\sim 30$ см/с (свободное падение воспламененной капли с высоты 0,5 см) становится равной 2 мм (метод рамки с проволоками).

Из полученных данных нельзя получить диаметр зоны положительного стефановского потока (т. е. движущегося от капли наружу) потому, что зона реакции может захватить также и область отрицательного стефановского потока вследствие диффузии газообразной субокиси алюминия навстречу отрицательному (т. е. идущему снаружи к капле) стефановскому потоку. Вопрос об истинном диаметре области положительного стефановского потока (существенного для теории [4, 5]) требует дальнейшего рассмотрения.

Авторы благодарят А. Г. Истратова и В. М. Гремячкина за ценную дискуссию.

Поступила в редакцию
22/VII 1977

ЛИТЕРАТУРА

- Л. А. Клячко. ФГВ, 1969, 5, 3.
- Т. Бружстовский, И. Глассмен.— В сб.: Гетерогенное горение. М., «Мир», 1967.
- Chung - Kapu Low. Combustion Science and Technology, 1976, 12, 113.
- В. М. Гремячкий, А. Г. Истратов. О. И. Лейпунский. ПМТФ, 1974, 4.
- В. М. Гремячкий, А. Г. Истратов, О. И. Лейпунский. ФГВ, 1975, 11, 3.